

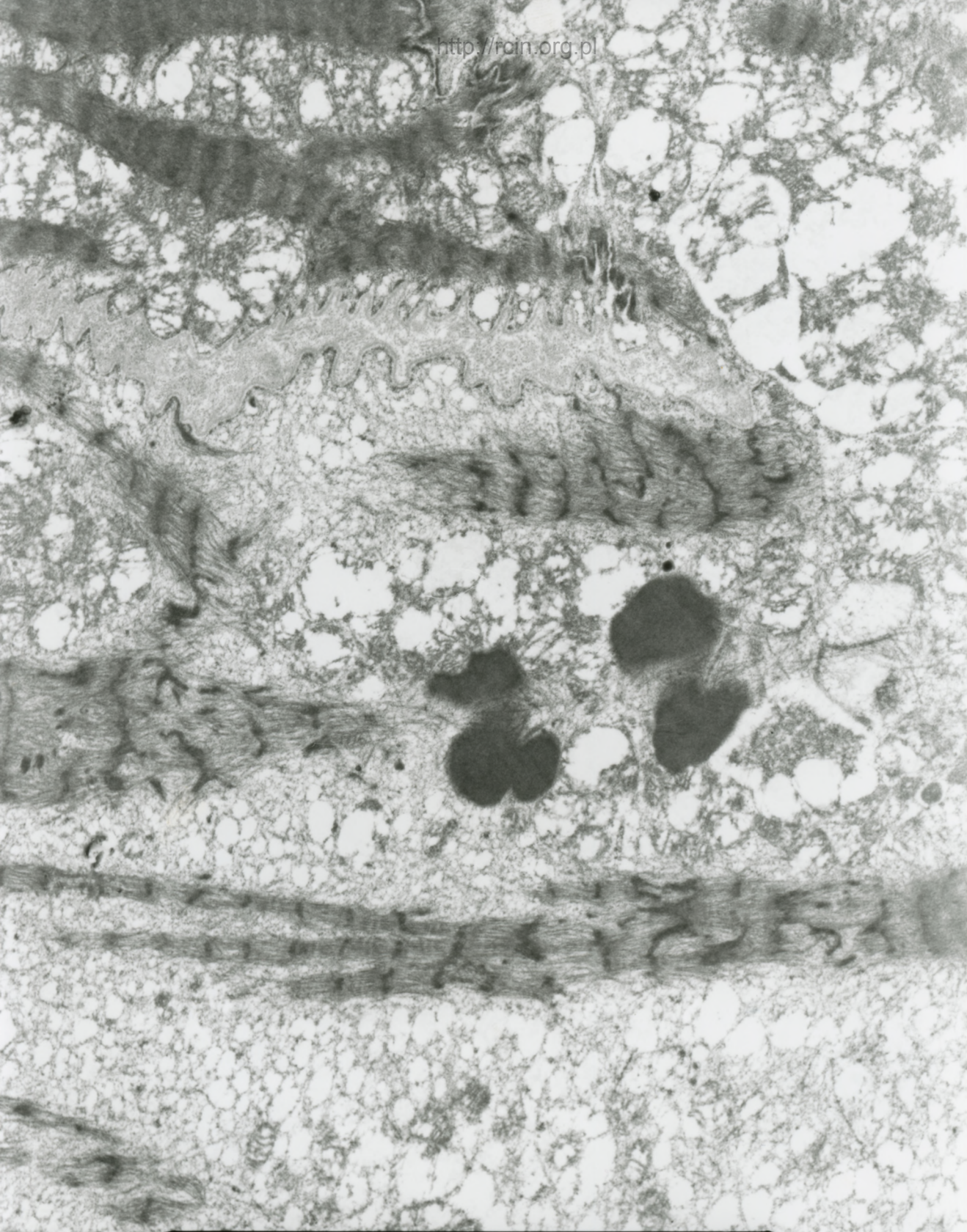
AF 56/03/serce
707075 00 AKU tY2500 20

Fig. 1



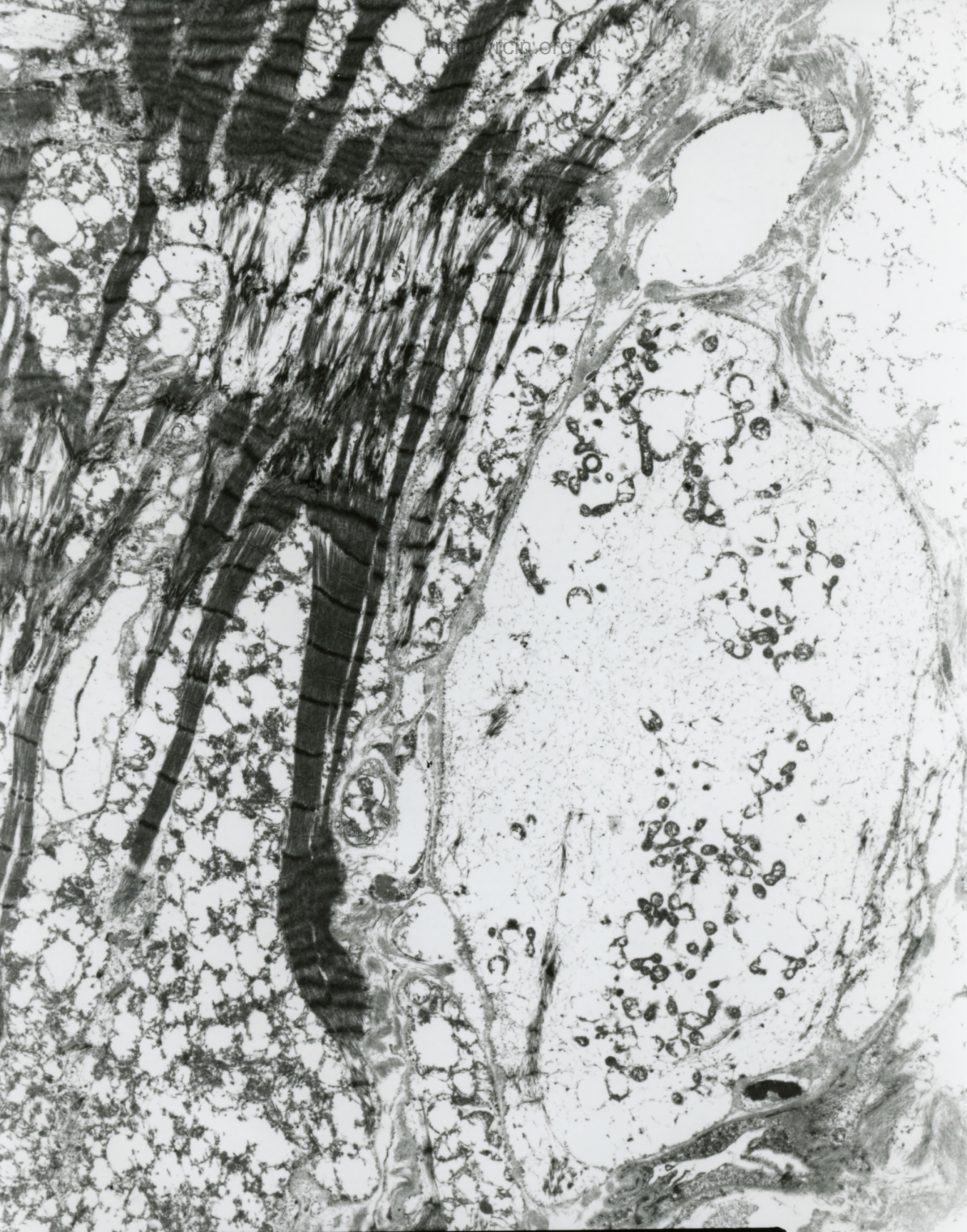
AF 56/03/serce
3R7077 80.0KV 1X3000 2µm

Fig. 2



AF 56/03/CardioPat
4R7751 8A AKU PX4AAA 200

Fig. 3



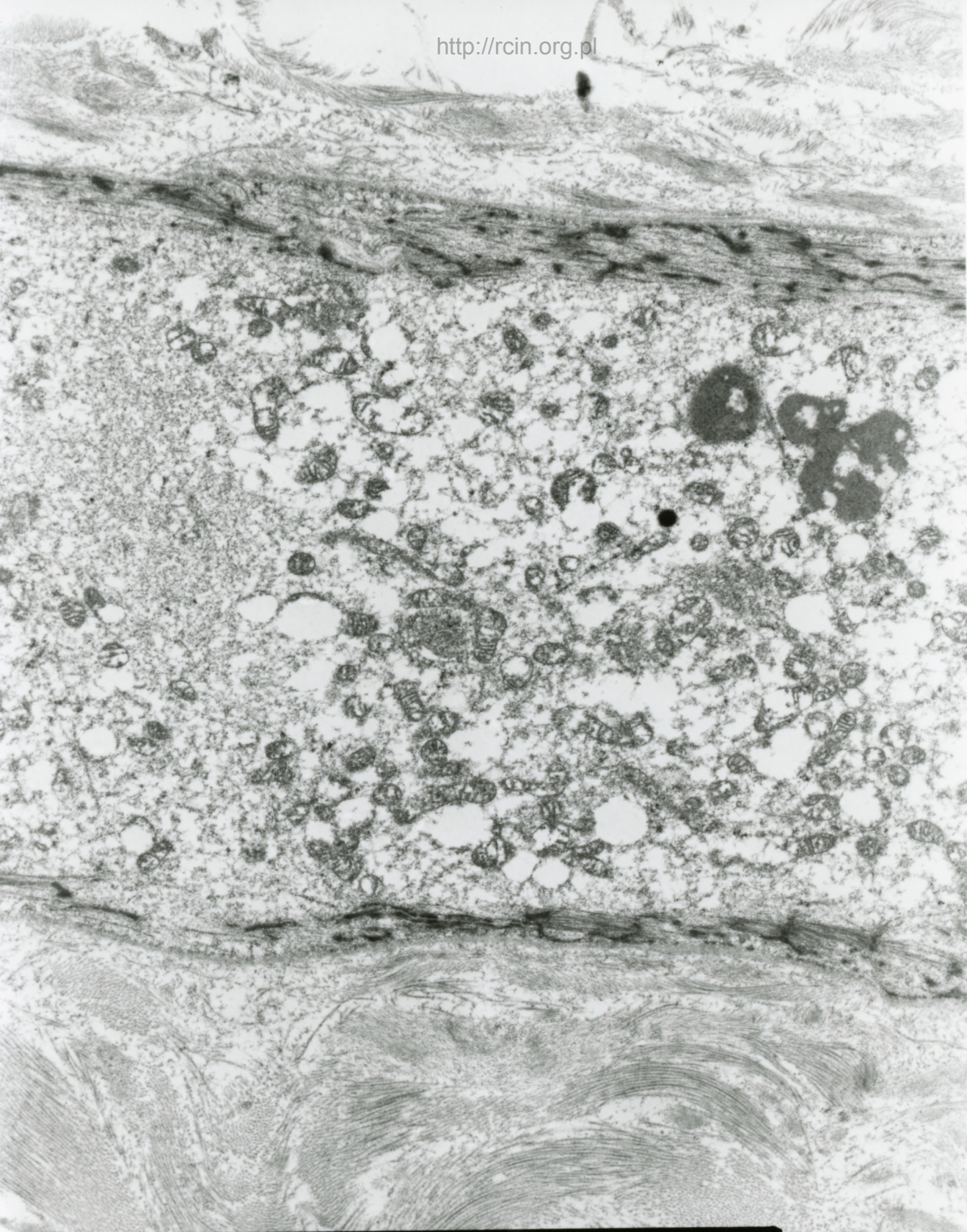
AF 56/03/serce
7R7A76 AA AKU IX2000 ZP

Fig. 4



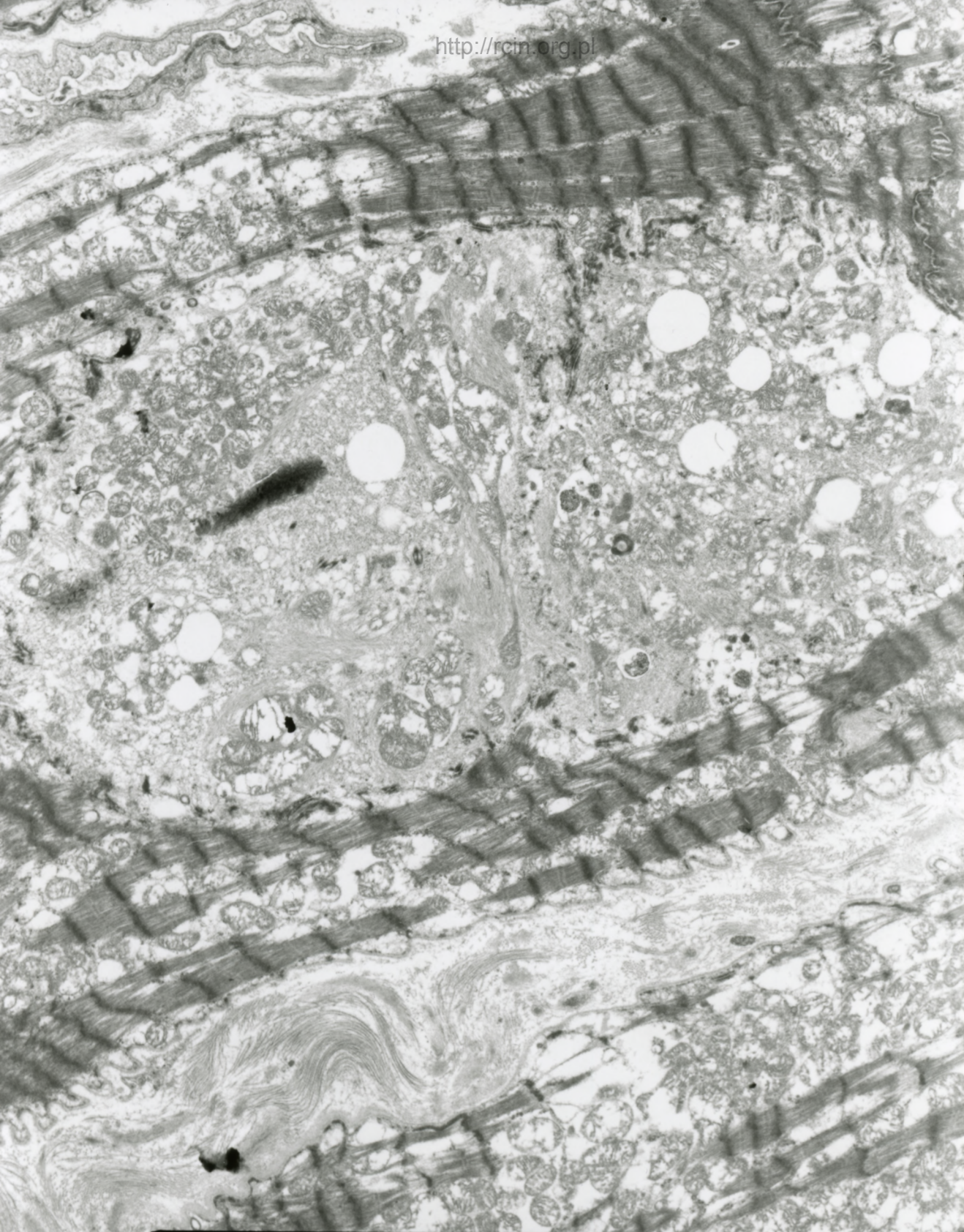
AF 56/03/serce
3R7070 80.0KV X4000 2Pm

Fig. 5



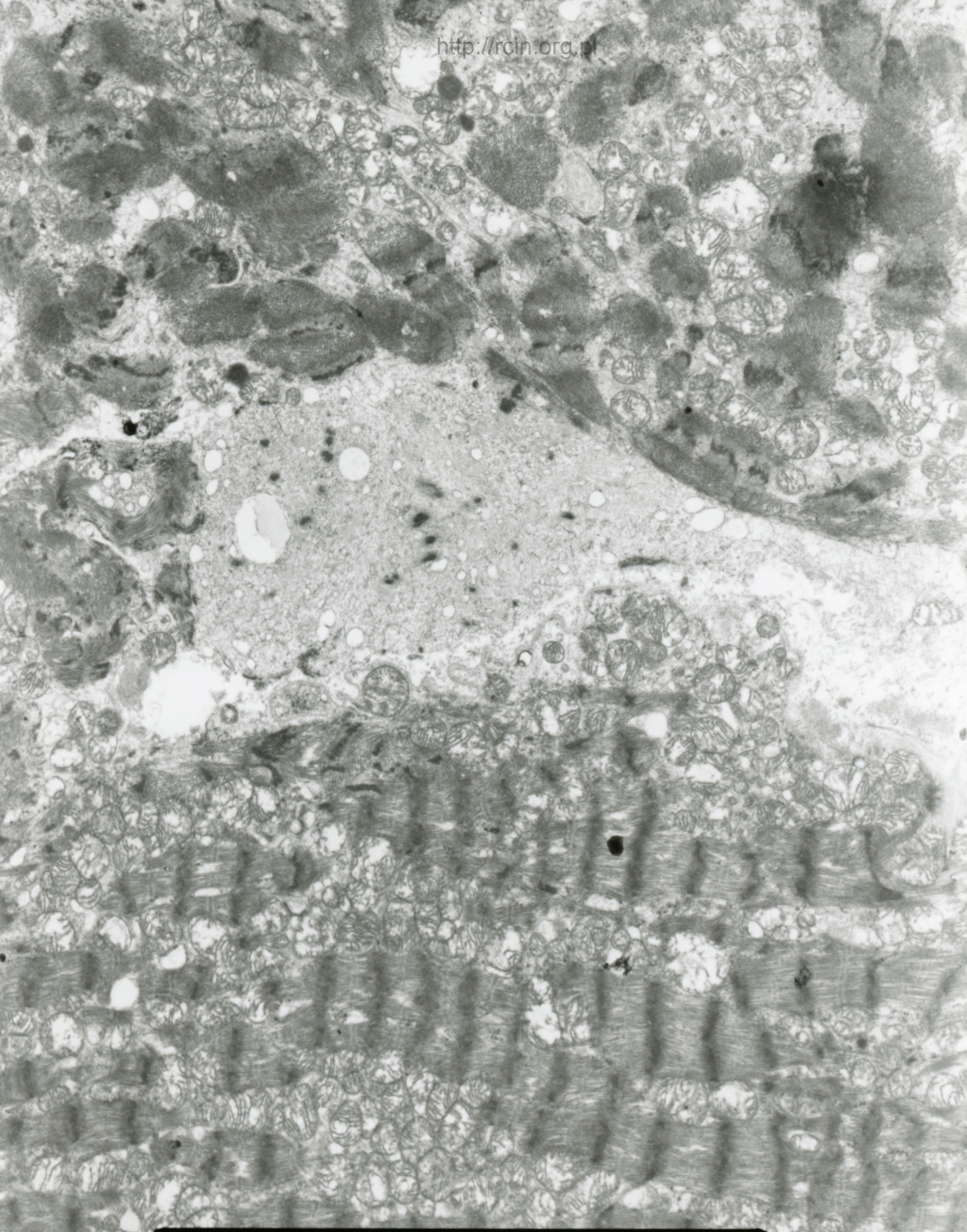
AF 56/03/serce
307079 80 AKU 1X4000 ZP

Fig. 6



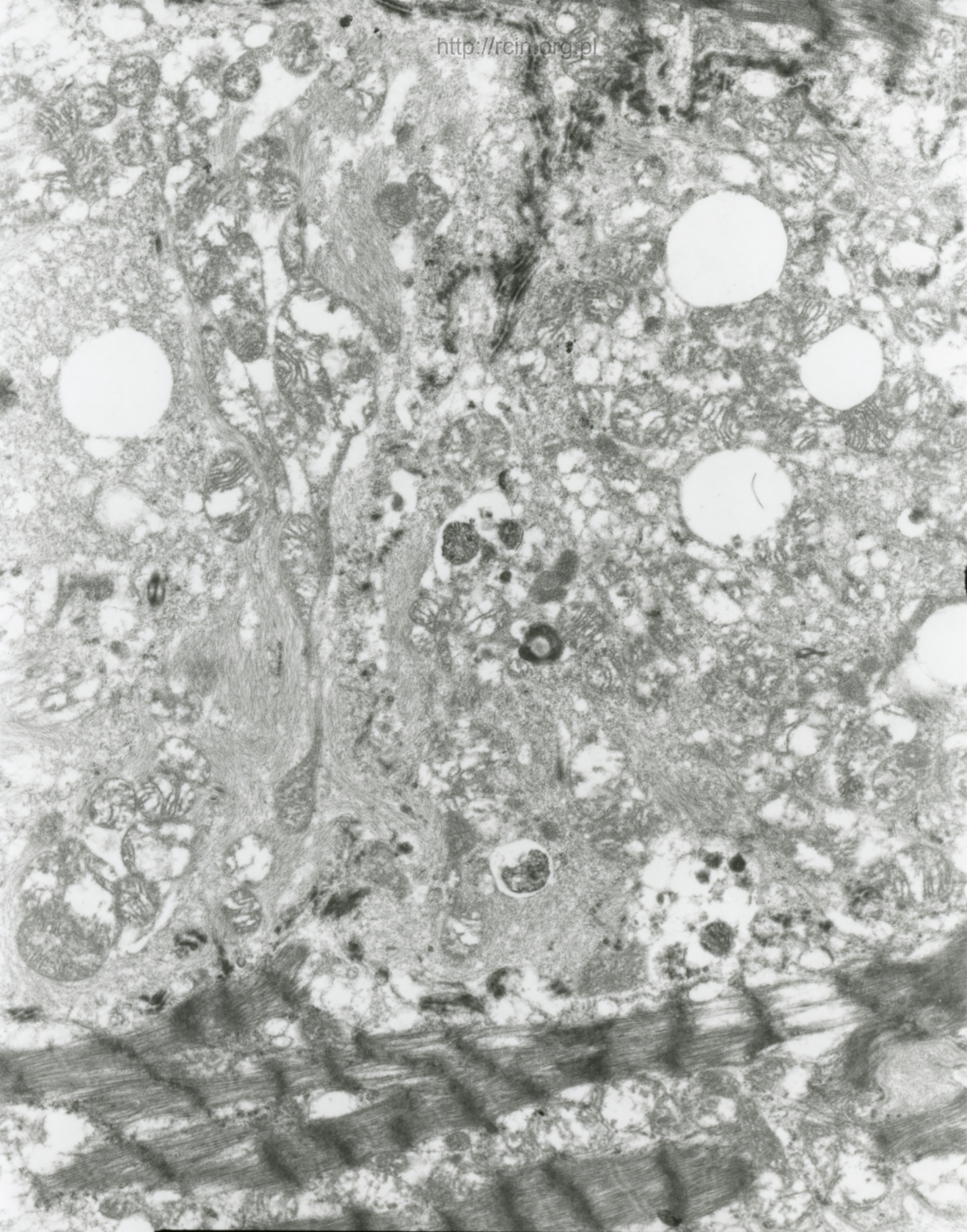
AF 56/03/CardioPat
487745 88 AXII PY2500 200

Fig. 7



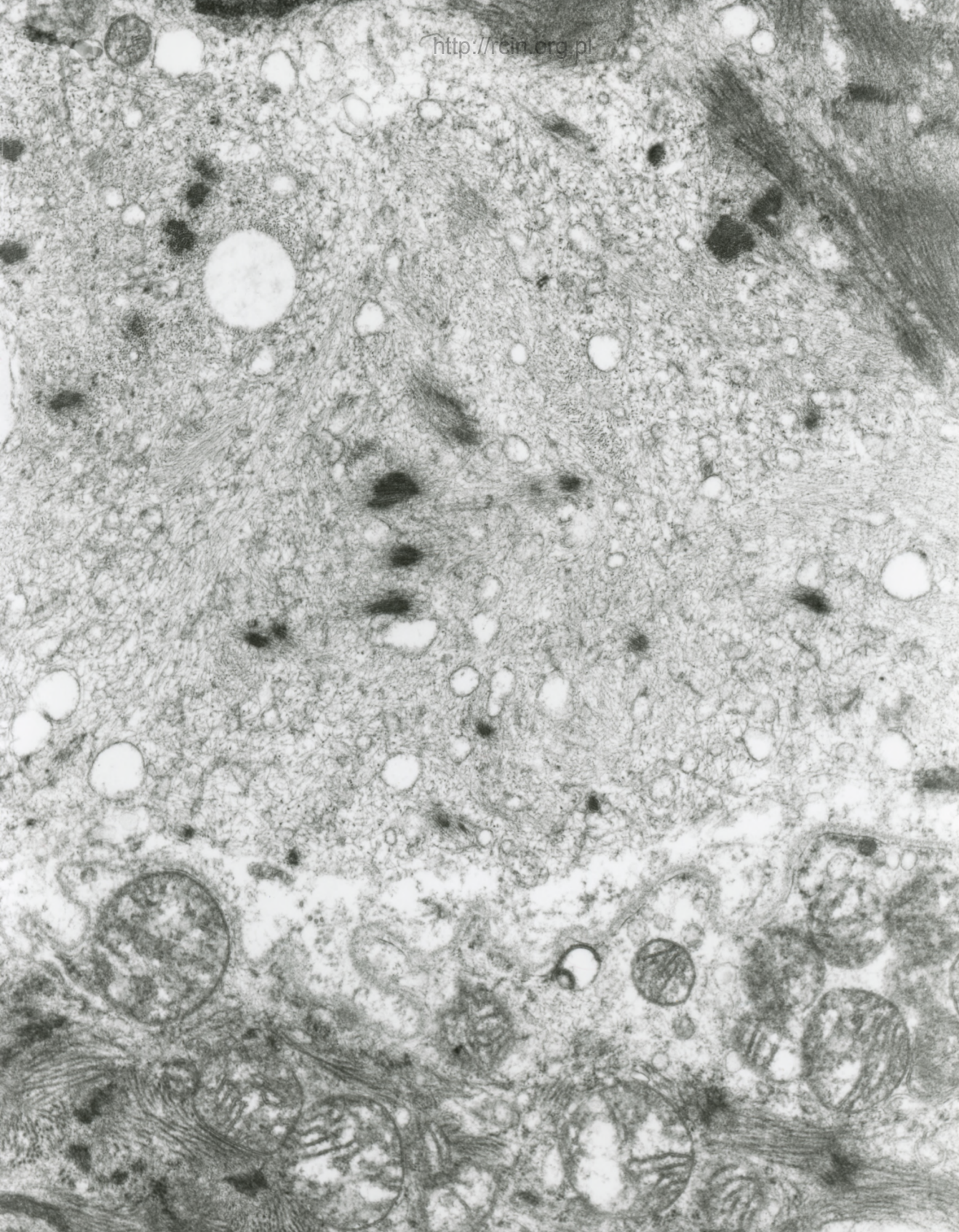
AF 56/03/CardioPat
4R7749 80.0KV RX3000 2P

Fig. 8



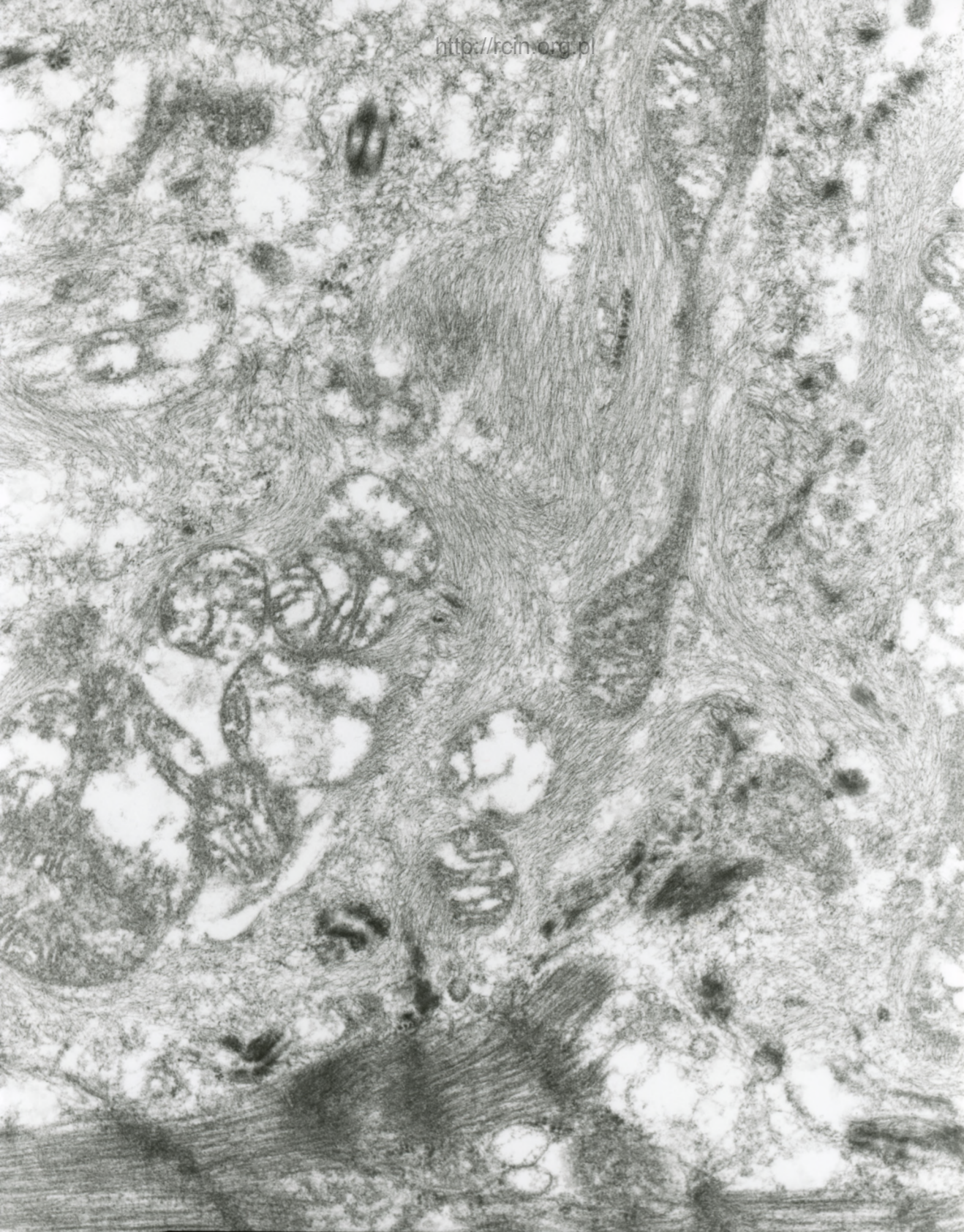
AF 56/03/CardioPat
4R7746 20 AKU RX5AAA 1µm

Fig. 9



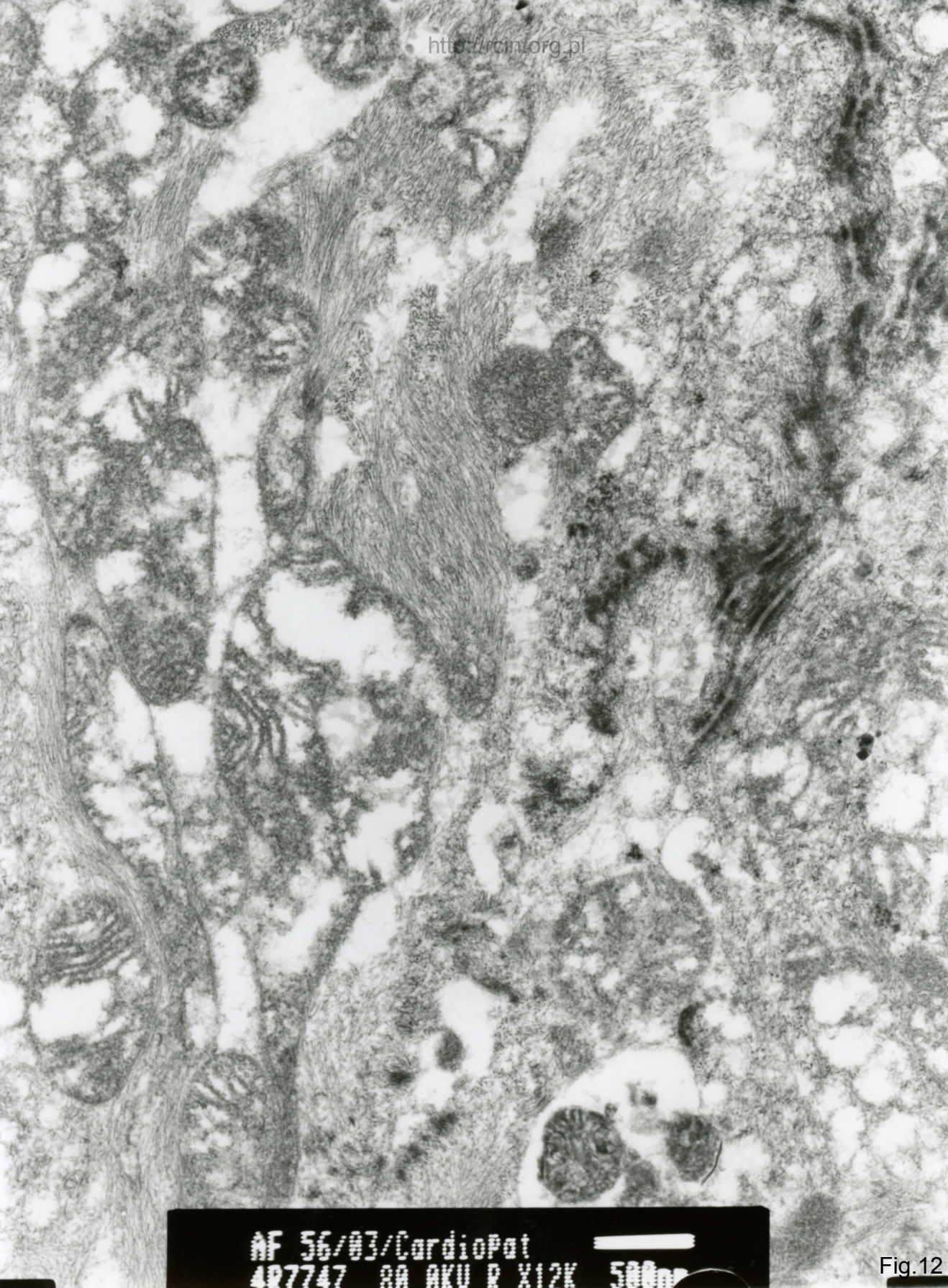
AF 56/03/CardioPat
107750 00 OKU D 410V 500

Fig.10



AF 56/03/CardioPat
AR7742 20 AKU P Y12K 500nm

Fig.11



AF 56/03/CardioPat
487747 8A AKU R X12K 500nm

Fig.12

56/03 (patrz też 28/05)

l. 27

Kardiomiopatia rozstrzeniowa

Ocena ultrastrukturalna wykazała zaburzenia w układzie sarkomerowym i w przebiegu miofibrili oraz ich znaczną dezorganizację i zanik. Widoczne były duże obszary całkowicie pozbawione włókienek kurczliwych (Fig. 1-4). Miejscami obserwuje się bardzo obfitą tkankę łączną oddzielającą włókna (Fig. 5,6). W kardiomiocytach obecne są zmienione ultrastrukturalnie mitochondria charakteryzujące się jasną macierzą i ubytkiem grzebieni mitochondrialnych, niektóre wykazują znaczne cechy obrzęku (Fig. 7-12).

Dilated cardiomyopathy

Electron microscopy analysis revealed changes in sarcomere pattern. Course of myofibrils was seriously altered and their disorganization were observed. Large areas completely devoid of contractile fibers were visible (Figs. 1-4) Abundant connective tissue separating muscle fibers was visible in some parts of the specimen (Figs. 5,6). In cardiomyocytes, ultrastructurally changed mitochondria were seen. Some of them were swollen, most were characterized by a bright mitochondrial matrix and a loss of mitochondrial cristae was observed (Figs. 7-12).